

Tetraethylammonium tetrafluoroborate를 함유한 유기 전해액을 사용한 전기 이중층 콘덴서의 전기적 특성

박 흥 우⁰, 권 순석⁰, 정 수 현⁰, 이 윤 용⁰, 임 기 조⁰, 박 수 김^{*}
충북대학교 전기공학과, * 충북대학교 공업화학과, § 대원전문대 전기공학과

ELECTRICAL PROPERTIES OF ELECTRIC DOUBLE LAYER CAPACITOR USING ORGANIC SOLUTION CONTANING TETRAETHYLMONIUM TETRAFLUOROBORATE AS ELECTROLYTE

H.W.Park⁰, S.S.Kwon, S.H.Jeong⁰, U.Y.Lee, K.J.Lim, and S.G.Park*

Dept. of Electrical Eng., chungbuk Nat'l Univ., Cheongju, 360-763

§ Dept. of Electrical Eng., Daewon College

* Dept. of Industrial Chemistry, chungbuk Nat'l Univ., Cheongju, 360-763

요약

전기 이중층 콘덴서는 일반적인 콘덴서와 배업용 이차 전지의 중간적 성격을 갖는 디바이스로서 직류 전압 인가시 전하는 전해액과 활성탄의 계면에 전기이중층을 이루며 축적된다.

본 논문에서는 탄화 및 활성화 조건을 달리하여 활성탄 전극을 제조하고 세공 면적, 비표면적, 겉보기 밀도와 기공율을 측정, 검토하였으며 여러가지 유기 용매에 tetraethylammonium tetrafluoroborate를 각각 침가하여 제조한 전해액의 전기전도도를 측정하고 이를 전해액과 활성탄 전극을 이용하여 전기 이중층 콘덴서를 제작한 후 정전용량, 활성탄 전극의 안정 전위, 채적용량 밀도, 충량용량 밀도 등을 검토하였다.

1. 서론

전기이중층 커퍼시터(EDLC:electric double layer capacitor)는 일반적인 커퍼시터와 배업용 이차 전지의 중간적인 성격을 갖는 디바이스로서 직류 전압 인가시 전하는 전해액과 활성탄의 계면에 형성된 전기 이중층에 축적된다. 전기 이중층 이론은 H. von Helmholtz, Gouy, Chapman, Stern 등에 의해 제안되었다. EDLC는 큰 표면적을 갖는 한 쌍의 분극성 전극, 다공성의 분리막, 집전극으로 구성된다.

전기 이중층 커퍼시터는 수 Farad급의 대용량으로 이차 전지에 비해 충전이 용이하고, 사용 온도 범위가 넓고, 충방전 사이클의 반복에도 성능 열화가 극히 작고, 환경 오염 물질을 포함하지 않는다는 등의 장점이 있다. 미국 일본 등에서는 최근 수년 전에 출시되어 마이크로 컴퓨터나 기억 소자의 배업 전원으로 활용되기 시작하고 있으며 전술한 바와 같은 장점으로 사용성이 크게 증대될 예상이다. 현재로서는 이차 전지에 비하여 고가이기 때문에 새로운 재료 및 공정의 개발을 통해 저렴하게 생산할 수 있는 시도가 필요하며 전자기기의 소형화, 박형화의 추세에 부응할 수 있는 소형화, 대용량화가 요구되고 있다[1-5].

커퍼시터의 용량은 활성탄 전극의 비표면적과 단위 면적 당의 전기이중층 용량을 산출하여 결정되므로 용량 밀도의 향상을 도모하기 위해서는 비표면적이 큰 활성탄을 이용해야 한다. EDLC가 전자 시스템에 배임 전원으로 사용될 경우 EDLC는 항상 전압이 인가된 상태로 유지되므로 전술한 반응으로 인해 장시간 사용시 성능 열화를 일으키는 원인이 된다. 이와 같이 전압인가에 따른 전극의 전기 화학적 안정성은 활성탄의 표면 물성에 크게 좌우된다[6-9]. 활성탄 입자 멍어리로 된 전극은 내부에 전해액을 사용할 수 있도록 적당한 기공율을 가져야 하고, 집전극과의 전기 전도성이 좋아야 한다.

본 연구에서는 탄화 및 활성화의 조건을 달리하여 활성탄

전극을 제조하고 세공 용적, 비표면적, 겉보기 밀도와 기공율을 측정 검토하였으며, 여러가지 유기 용매에 tetraethylammonium tetrafluoroborate를 침가하여 제조한 전해액의 전기 전도도를 측정하고 이를 전해액과 활성탄 전극을 이용하여 전기 이중층 커퍼시터를 제작한 후, 용량, 활성탄 전극의 안정 전위, 채적용량 밀도, 충량용량 밀도 등을 검토하였다.

2. 실험

그림 1은 전기 이중층 커퍼시터의 제조과정은 나타내고 있다. 분극성 전극으로 사용될 활성탄의 제조를 위해서 탄화 처리는 coconut shell을 알루미나 보온재에 충진하여 관상 전기로에 넣고 질소 분위기에서 500~1300 °C로 2시간 동안 처리하였으며 습도는 100 °C/Hr로 하였다. 활성화 처리는 수증기 활성화법을 사용하였다. 탄화물을 충진한 알루미나 보온재를 탄화 때와 같은 전기로에 넣고 900 °C에서 5시간 수증기를 주입하여 활성화 시켰다. 그림 2는 본 실험을 위해 제작한 전기 이중층 커퍼시터의 구조이다. 전기 이중층 커퍼시터는 두 전극으로서 알루미늄 sheet, 분극성 전극으로 활성 탄소, separator로서 다공성 폴리프로필렌, 전해액으로 구성된다. separator는 두 활성탄 전극 사이에 위치하고 활성탄 전극은 여러 유기 용매에 tetraethylammonium tetrafluoroborate 0.6 M 농도인 유기 전해액으로 섞어 paste상으로 하여 충진하였다. 유기 용매로 프로필렌 카보네이트, γ-브티락탄, 디메틸플로루아마이드, 디메틸실파옥사이드, 아세트니트릴에 0.6 M 농도로 tetraethylammonium tetrafluoroborate를 넣어 유기 전해액을 제조했다. 전해액은 커퍼시터의 성능 열화를 방지하기 위하여 질소 가스를 주입하여 밀봉했다.

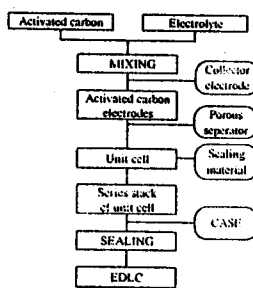


그림 1. 전기이중층 커퍼시터의 제조공정도

Fig.1 Manufacturing process of the electric double layer capacitor

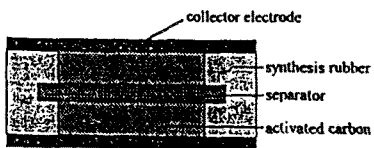


그림 2. 전기이중층 커패시터의 구조

Fig. 2 Construction of the electric double layer capacitor

전해액의 도전율은 온도계를 부착한 전도도 cell을 넣어 일폐 상태인 미이커에 전해액을 넣어서 측정했다. 측정 기기는 ME TROHM Co. 모델 660 conductimeter를 이용했다. 전기 화학적 특성은 3전극식 모델 cell을 이용하여 측정했다.

3. 결과 및 고찰

전기 이중층 커패시터의 특징의 하나는 급속 충방전이 가능하다는 것이며 이것은 충방전 반응이 전극 계면에서 이온의 이동에 의한 정전적 형상을 이용하기 때문이다. 전해액의 전기 전도율이 높으면 충방전 특성을 더욱 향상시킬 수 있다. 표 1에 여러 가지 유기 용매에 $(C_2H_5)_4NBF_4$ 0.6 M농도로 만든 유기전해액에 대한 도전율 및 온도 특성을 나타냈다. 25 °C에서 도전율은 $(C_2H_5)_4NBF_4/AN$ 이 가장 좋은 값을 나타내지만 온도 변화에 대한 값은 상당히 나빠진다. 전반적으로 검토해 볼 때 $(C_2H_5)_4NBF_4/PC$ 용액이 가장 우수한 것으로 평가된다. 그러나 $(C_2H_5)_4NBF_4/DMSO$ 은 가장 적은 도전율을 보였을 뿐만 아니라 0°C 이하에서는 응고되기 때문에 도전율의 측정이

III. $(C_2H_5)_4NBF_4$ /유기용매 0.6 M 전해액의 도전율

Table 1. Conductivities of $(C_2H_5)_4NBF_4$ /organic solvent 0.6M solutions

organic electrolyte	conductivity ($\mu\text{s}/\text{cm}$)		
	25°C	0°C	-25°C
$(C_2H_5)_4NBF_4/PC$	9,100	5,620	2,490
$(C_2H_5)_4NBF_4/BL$	6,210	3,500	1,600
$(C_2H_5)_4NBF_4/DMF$	9,390	4,800	2,100
$(C_2H_5)_4NBF_4/DMSO$	64.2	-	-
$(C_2H_5)_4NBF_4/AN$	10,960	5,320	1,850

불가능하다. 따라서, DMSO 용매를 이용한 커패시터는 상온에서는 사용이 가능하나 0°C 이하에서는 좋은 특성을 기대하기 어려울 것으로 사료된다.

전기 이중층 용량을 측정하기 위해 3 전극 model을 적용하여 C_a, C_c 및 C_g를 각각 측정했다. anode, cathode 양극 모두 활성탄과 전해액의 계면에 형성된 전기 이중층의 전하 측정을 이용하여 인은 커패시터 소자의 cell-용량 C는 anode측의 단위 용량 Ca와 cathode측의 단위 용량 Cc와 직렬 연결된 활성 용량으로 관측되므로 다음과 같이 cell-용량을 구할 수 있다.

$$\frac{1}{C} = \frac{1}{C_a} + \frac{1}{C_c} \quad \dots \dots \dots \quad (1)$$

각각의 전해액을 이용하여 제작한 단위 cell 전압을 2.8~0 V의 범위에서 정전류 충방전 시험을 반복하여 방전 구간에서의 cell 전위, anode 및 cathode 전위를 측정한 결과 시간 축에 대해 기의 선형으로 움직였다. anode 및 cathode-용량은 $(C_2H_5)_4NBF_4/PC$ 의 경우만 나타냈다. 시험 결과를 그림 3에 나타냈다.

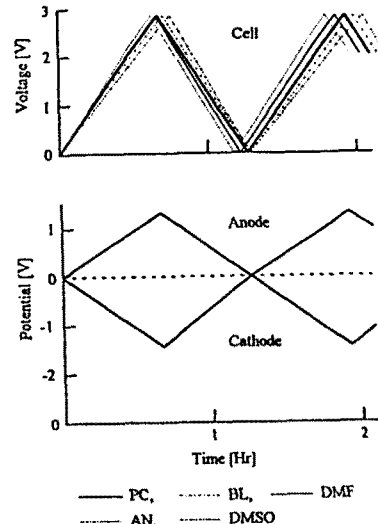


그림 3. $(C_2H_5)_4NBF_4$ /유기용매 0.6 M 전해액을 사용한 커패시터의 충방전 특성

Fig. 3 charge-discharge characteristics for model cell containing $(C_2H_5)_4NBF_4$ /organic solvent 0.6M solutions

또한 직선의 기울기에 의해 구한 Ca, Cc는 표 2와 같다. 실험에 의해서 얻은 Ca, Cc의 값을 이용하여 식 (1)에 의해 산출된 용량은 표 2의 실측 용량 C와 거의 일치함을 보였다. $(C_2H_5)_4NBF_4/PC$ 가 가장 큰 값을 보였다. 또한 Ca가 Cc보다 용량 밀도가 커졌다.

표 2. $(C_2H_5)_4NBF_4$ /유기용매 0.6 M 전해액을 사용한 커패시터의 anode, cathode, cell 용량

Table 2. Anode, cathode and cell capacitance in $(C_2H_5)_4NBF_4$ /organic solvent 0.6M solutions

organic electrolyte	conductivity ($\mu\text{s}/\text{cm}$)		
	25°C	0°C	-25°C
$(C_2H_5)_4NBF_4/PC$	9,100	5,620	2,490
$(C_2H_5)_4NBF_4/BL$	6,210	3,500	1,600
$(C_2H_5)_4NBF_4/DMF$	9,390	4,800	2,100
$(C_2H_5)_4NBF_4/DMSO$	64.2	-	-
$(C_2H_5)_4NBF_4/AN$	10,960	5,320	1,850

전극 재료의 물성을 검토하기 위해서 단화 온도를 500 °C에서 1300 °C 범위로 세공 특성이 다른 sample을 제작하여 전극체적 당 채적 용량 밀도 [F/cm^2], 전극에 함유된 활성탄의 중량 당의 중량 용량 밀도 [F/g]와 활성탄의 비표면적과의 관계를 그림 4, 5에 나타냈다. 이 실験에서 사용된 전해액은 $(C_2H_5)_4NBF_4/PC$ 0.6M의 유기 전해액이며 시편의 크기는 직경 12 mm, 두께 0.8 mm이다. BET법(측정 기기: Quantachrom co. Autosor b -1)으로 구한 활성탄의 표면적이 100 % 전기 이중층을 형성하는 유효한 전극 면적으로 작용한다고 가정하면 $1800 \text{ m}^2/\text{g}$ 의 활성탄은 약 35 mg을 사용하여 약 3.1 F의 anode 용량이 얻이지므로 단위 면적당의 전기 이중층 용량은 약 $5 \mu\text{F}/\text{cm}^2$ 로 추산된다. 그럼 6과 같이 커패시터의 에너지 밀도를 결정하는 전극의 채적 용량 밀도는 활성탄의 비표면적이 $1800 \text{ m}^2/\text{g}$ 의 범위를 지나면 오히려 면적 용량 밀도는 감소하는 경향을 보인다. 이것은 활성화 조건을 달리하여 비표면적을 크게 한 시료에서는 채적 용량 밀도가 감소하는 것은 전극 채적 당의 활성탄 함유량이 세공 용적의 증대에 의해 감소하여 용량이 감

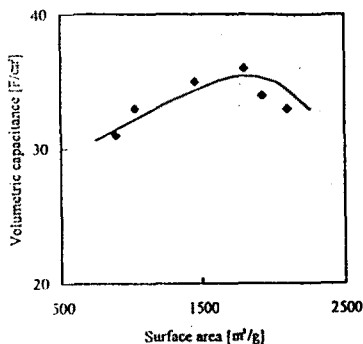


그림 4. 전극으로 사용된 활성탄 전극의 비표면적과 채시용량밀도의 관계

Fig.4 Correlation between volumetric capacitance and surface area of activated carbon used for the electrode

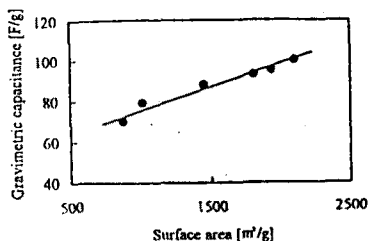


그림 5. 전극으로 사용된 활성탄 전극의 비표면적과 중량용량밀도의 관계

Fig.5 Correlation between gravimetric capacitance and surface area of activated carbon used for the electrode

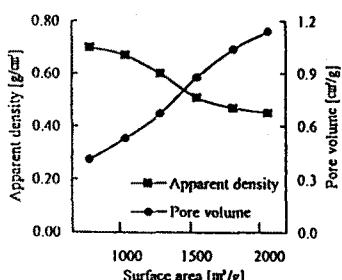


그림 6. 전극으로 사용된 활성탄 전극의 비표면적과
질보기밀도, 세공용적과의 관계

Fig. 6 Correlation between surface area, apparent density, and pore volume of activated carbon

소하고 또한 활성탄의 비표면적이 증대하기 때문에 용량 증가도 나타난다. 그러나 활성탄의 함유량이 세공용적의 증대에 의한 용량 감소분이 비표면적의 증대로 인한 용량 증가분을 추월하기 때문에 결국 채시용량 밀도는 감소하는 경향이 있다고 사료된다. 한편, 전극 중의 활성탄 중량 당의 중량 용량 밀도와 활성탄의 비표면적의 관계는 그림 5과 같이 거의 비례한다. 이러한 현상은 활성탄 전극 상의 전기 이중층용량이 세

공특성에 영향을 받지 않고 거의 일정하다는 것을 나타낸다. 그림 6은 비표면적과 질보기 밀도, 세공용적의 관계를 나타냈다. 비표면적이 증가할 수록 질보기 밀도가 감소하는 것은 활성화에 의해 세공용적이 증가하기 때문이다.

4. 결론

coconut shell을 이용해 만든 활성탄에 유기 전해액을 섞어 만든 전기 이중층 커퍼시터의 특성과 전극재료의 물성 및 전해액 특성에 대해 알아보았다. 여러가지 유기용매에 $(C_2H_5)_4NBF_4/0.6 M$ 의 농도로 만든 유기전해액중에서 $(C_2H_5)_4NBF_4/PC$ 용액이 가장 우수한 전기 전도도 및 용량 특성을 보였다. 충방전 실험시 방전 곡선의 기울기에 의해 계산한 활성탄의 단위 면적당의 전기이중층 용량은 약 $5\mu F/cm^2$ 로 추정되었다. 또한 활성탄의 조건을 달리하여 세공용적이 다른 시료에서 얻은 비표면적과 채시용량밀도는 $1800\text{ m}^2/\text{cm}^2$ 를 넘으면 오히려 감소하는 경향을 보였다. 이것은 활성화에 따라 전극재적당의 활성탄 함유량이 세공용적의 증대에 의해 감소하여 용량의 감소를 수반하는 것이 활성탄의 비표면적의 증대에 따른 용량 증가분을 암지르는 것을로 생각되기 때문으로 사료된다.

참고문헌

- [1] A. Yoshida and A. Nishino, "Development of Electric Double Layer Capacitors with Activated Carbon Filter and Sprayed Aluminium Electrode" in proceedings of the 1st int. carbon conf., 1990
- [2] I. Tanahashi, A. Yoshida and A. Nishino, "Properties of the Electric Double Layer Capacitor Composed of Activated Carbon Cloth Electrodes and Organic Electrolyte," Denki Kagaku, 56, pp. 892-897, 1988
- [3] D.D. Grahame, "The Electrical Double Layer and the Theory of Electrocapillarity", Chem. Rev., 41, p441, 1947
- [4] W. Watt and W. Johnson, in Third conf. on Industrial Carbon and Graphites, Society of Chemical Industry, London, England, p. 417, 1971.
- [5] S.Jasienko and J. Machnikowski, carbon, 19, 199(1981)
- [6] K. Samada and M. Hosokawa, "Electric Double Layer Capacitor"-super capacitor-, NEC Res. & Develop., 55, pp. 21-28, 1979
- [7] K.V. Kordesch, " Survey of Carbon and its Rols in phosphoric Acid Fuel Cells", Final Reports, BNL 51418, Prepared for Brookhaven National Laboratory, 1979
- [8] A. N. Dey and P.B. Sullivan, J. Electrochemical. Soc., 117, 295, 1970
- [9] T.Saito and J. Tabuchi, "Preparation of Activated Carbon for Electric double Layer Capacitors", Shingaku Carbon CPM 90, pp.1-6, 1990.